

18. Янин Е.П. Геохимические закономерности формирования антропогенных потоков рассеяния химических элементов в малых реках: Автореф. дис. ... канд.

геол.-мин. наук. – М.: ИМГРЭ, 1985. – 25 с.

19. Янин Е.П. Экогеохимическая оценка загрязнения реки Нуры ртутью. – М.: ИМГРЭ, 1989. – 43 с.

20. Янин Е.П. Гидрохимические исследования городских агломераций // Экологическая геохимия городских агломераций. – М.: Геоинформарк, 1991, с. 45–68.

21. Янин Е.П. Ртуть в окружающей среде промышленного города. – М.: ИМГРЭ, 1992. – 169 с.

22. Янин Е.П. Особенности поступления и распределения ртути в воде р. Нуры (Центральный Казахстан) // Геоэкологические исследования и охрана недр, 1993, вып. 3, с. 15–24.

23. Янин Е.П. Техногенные речные илы в зоне влияния промышленного города (формирование, состав, геохимические особенности). – М.: ИМГРЭ, 2002. – 100 с.

24. Янин Е.П. Тяжелые металлы в малой реке в зоне влияния промышленного города. – М.: ИМГРЭ, 2003. – 89 с.

25. Янин Е.П. Органические вещества техногенного происхождения в водах городских рек // Экологическая экспертиза, 2004, № 4, с. 42–67.

26. Янин Е.П. Особенности распределения тяжелых металлов в воде малой реки в зоне влияния промышленного города // Докл. III Междунар. научн.-практ. конф. «Тяжелые металлы, радионуклиды и элементы-биофины в окружающей среде» (7–9 октября 2004 г.). Т. 1. – Семипалатинск, 2004, с. 218–222.

27. Янин Е.П. Изменение химического состава и техногенная метаморфизация речных вод в промышленно-урбанизированных районах // Научные и технические аспекты охраны окружающей среды, 2006, № 3, с. 2–27.

28. Bedair H.M., Al-Saad H.T. Dissolved and particulate-adsorbed hydrocarbons in waters of Shatt al-Arab River, Iraq // Water, Air, and Soil Pollut., 1992, 61, № 3–4, p. 397–408.

29. Connelly W., Miller G.J. Chemistry and ecotoxicology of pollution. – N.Y.: John Wiley and Sons, Inc., 1984. – 423 p.

30. Kaiser K.L.E., Lum K.R., Comba M.E., Palabreia V.S. Organic trace contaminants in St. Lawrence River water and suspended sediments, 1985–1987 // Sci. Total Environ., 1990, v. 97/98, p. 23–40.

УДК 502.52

ТЕОРИЯ И МЕТОДЫ ОХРАНЫ ПОЧВ

97-125 10529
photo

ИССЛЕДОВАНИЕ ПРОСТРАНСТВЕННОЙ И ВРЕМЕННОЙ ДИНАМИКИ РАДИОТЕПЛОВОГО ИЗЛУЧЕНИЯ МЕРЗЛЫХ ПОЧВ И ТУНДРЫ НА СУТОЧНЫХ, МЕСЯЧНЫХ И ГОДОВЫХ МАСШТАБАХ

¹Фризинский филиал ФГБУН Института радиотехники и электроники им. В.А. Котельникова Российской академии наук

²Научно-технологический центр "Космонит"
ОАО "Российские космические системы"

THE STUDY OF THE SPATIAL AND TEMPORAL DYNAMICS OF THE MICROWAVE EMISSION OF FROZEN SOIL AND TUNDRA ON DAILY, MONTHLY AND ANNUAL SCALE

A.G. Grankov¹, A.A. Mil'shin¹, N.K. Shelobanova¹, Cherny I.V.², A.A. Chukhlantzev¹

¹Kotel'nikov Institute of Radioengineering and Electronics, Russian Academy of Sciences

²Scientific and technological center "Kosmonit", Joint Stock Company "Russian Space Systems"

Ключевые слова: радиометры AMSR-E, MTBЗА-ГЯ, комплексная диэлектрическая проницаемость почвы, почва тундры, яркостная температура, вертикальная и горизонтальная поляризация, процессы таяния и замерзания.

Key words: AMSR-E, MTBЗА-GYA radiometers, complex dielectric permittivity, soil, tundra, brightness temperature, vertical and horizontal polarization, the processes of melting and freezing.

Дано описание модели комплексной диэлектрической проницаемости почвы тундры при теплосодержательных и отрицательных температурах. Выполнено моделирование радиотеплового излучения тундры в диапазоне 10–100 см. Рассмотрены экспериментальные данные суточной динамики радиотеплового излучения тундры в см и дм диапазоне. Выполнен анализ сезонной и многолетней динамики радиотеплового излучения тундры в восточном и западном тундрах с учетом поляризационных и спектральных отличий на основе данных радиометров AMSR-E и MTBЗА-ГЯ. Аналisis указывает на различия в механизме формирования радиотеплового поля тундры в западном и восточном полушарии. Изменение фазового состояния тундры (таяние и замерзание) наиболее сильно проявляется на частоте 6.9 и 10.6 ГГц.

The description of the model of complex dielectric permeability of tundra soil at positive and negative temperatures is given. Modeling of tundra radioemission in the band of 10–100 cm is considered. The experimental data of the daily dynamics of tundra radioemission in cm and dm band. The analysis of seasonal and long-term dynamics of tundra radioemission in the Eastern and Western hemispheres, taking into account polarization and spectral differences on the basis of AMSR-E and

Заключение

Сложный механизм процессов таяния и промерзания почвы тундры проявляется в ее радиотепловом поле в мм, см и дм диапазоне и обусловлен скачкообразным изменением КДП почв при переходе от пологих температур к огнестойким.

Моделирование радиотеплового излучения в дм диапазоне позволяет более детально изучать механизм его формирования.

Анализ сезонной динамики радиотеплового излучения тундры с учетом поляризационных и спектральных отгипий указывает на различия в механизме формирования радиотеплового поля тундры в западном и восточном полушарии.

Изменение фазового состояния тундры (таяние и замерзание) наиболее сильно проявляется на частоте 6,9 и 10,6 ГГц.

Поляризационные параметры тундры имеют выраженный головой ход. Поляризационный контраст и коэффициент поляризации данных МТВЗА-ГЯ более чем в два раза превышает аналогичные данные AMSR-E.

Радиотепловое поле на горизонтальной поляризации наиболее чувствительно к изменению физических параметров системы атмосфера-тундра.

Мы благодарим центр NSIDC и НТЦ Космонавтики за предоставленные спутниковые данные ЯТ радиометров AMSR-E и МТВЗА-ГЯ.

Литература

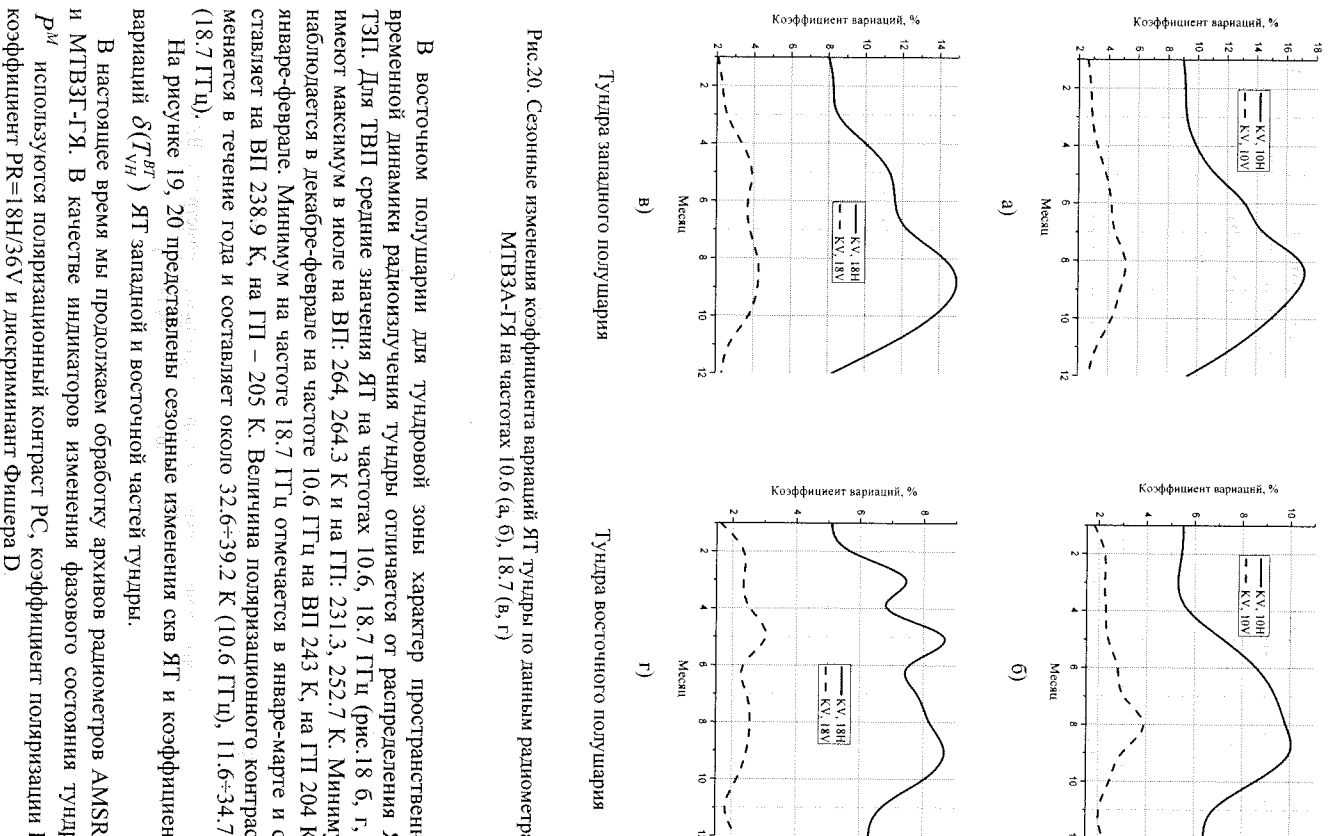


Рис.20. Сезонные изменения коэффициента вариации ЯТ тундры по данным радиометра МТВЗА-ГЯ на частотах 10,6 (а, б), 18,7 (в, г)

Тундра западного полушария

Тундра восточного полушария

В восточном полушарии для тундровой зоны характер пространственно-временной динамики радиоизлучения тундры отличается от распределения ЯТ ТЗП. Для ТВП средние значения ЯТ на частотах 10,6, 18,7 ГГц (рис.18 б, г, е) имеют максимум в ИП: 264, 264,3 К и на ГП: 231,3, 252,7 К. Минимум наблюдается в декабре-феврале на частоте 10,6 ГГц на ВП 243 К, на ГП 204 К в январе-феврале. Минимум на частоте 18,7 ГГц отмечается в январе-марте и составляет на ВП 238,9 К, на ГП – 205 К. Величина поляризационного контраста меняется в течение года и составляет около 32,6-39,2 К (10,6 ГГц), 11,6-34,7 К (18,7 ГГц).

На рисунке 19, 20 представлены сезонные изменения скв ЯТ и коэффициента вариации $\delta(T_{YH})$ ЯТ западной и восточной частей тундры. В настоящее время мы продолжаем обработку архивов радиометров AMSR-E и МТВЗА-ГЯ. В качестве индикаторов изменения фазового состояния тундры P_{PR} используются поляризационный контраст РС, коэффициент поляризации РІ, коэффициент PR=18Н/36V и дискриминант Фишера D.

1. Анисимов О.А., Кокарев В.А. Климат в Арктической зоне России: Анализ современных изменений и модельные проекции на ХХI век // Вестник Московского ун-та. География. №1. 2016. С.61-70.
2. Арманда Н.А., Гранков А.Г., Мильтин А.А., Тищенко Ю.Г., Шелобанова Н.К. Контроль состояния поверхности тундры и мерзлых почв в дециметровом диапазоне с космического аппарата МКА-ФКИ №1 // Труды Всероссийской научно-технической конференции "Актуальные проблемы ракетно-космического приборостроения и информационных технологий" / Под ред. Ю.М. Урличича, А.А. Романова. М.: ФИЗМАТЛИТ, 2009. 376 с.
3. Бобров П.П., Кривальцевич С.В. Миронов В.Л., Ященко А.С. Влияние толщины промерзшего почвенного стоя на собственное радиотепловое излучение в диапазоне длин волн 3,6-11 см // Известия высших учебных заведений. Физика, 2006. № 9. С.5-10.
4. Бобров П.П., Миронов В.Л., Ященко А.С. Суточная динамика радиоизрисковых температур почв на частотах 1,4 и 6,9 ГГц в процесах промерзания и оттавания // РИЭ. Т.55. №4. 2010. С.424-431.
5. Бобров П.П., Ященко А.С., Кривальцевич С.В. Моделирование радиоизрисковой температуры различных почв в процесах промерзания и оттавания // Электронный научный журнал «Вестник Омского государственного педагогического университета» Выпуск 2007. www.omsk.edu.
6. Бородянский Г.С. Электромагнитное излучение криогенных природных сред. Диссертация на соискание ученоей степени д.ф.-м.н., чита, 1994. 322 с.
7. Галкин Ю.С., Гранков А.Г., Мильтин А.А., Шмаленюк А.С. Моделирование ослабления радиоволн лесным пологом в глобальной модели радиоизлучения земной поверхности в L- и Р- диапазонах // Вестник Московского государственного университета леса - Лесной вестник. Вып.2 (51). 2007. С.90-99.